

運輸省 正員 ○ 野田節男
 □ 千葉忠樹
 □ 正員 上部達生

1. まえがき

リニア式海岸の湾奥は水深も大きく静穏な泊地に恵まれた良港の条件を備えているが、地震時には地形的特徴として津波による被害を蒙る可能性がある。そのため、津波防護の目的で湾口へ比較的大水深域に防波堤を建設する必要が生じて來た。これまでの建設実績から、その形式はマウンドを有するケーラン式堤成堤が有力であるが、従来へ波浪に対する防波堤の水深が高々20mであるのに比べ、津波防護堤では-60mのものが計画されている。この場合、水深が増大に伴いマウンドが高くなるので、耐震性の確保が重要な課題となる。筆者らは、高マウンドのケーラン式防波堤の耐震性に関する基礎的資料を得るために、ケーランの滑動・沈下及びマウンドの崩壊に着目して模型振動実験を実施したので、以下にその概要を報告する。

2. 模型

防波堤へ原型は試験断面へ中より遷移し、出来るかぎり相似則を満すように模型へ諸元を定めた。模型と原型へ間の基本的な相似比としては、長さ(高さ)の比 $\lambda = L_p / L_n = 1/75$ 、加速度の比 $\alpha = 1$ 、時間の比 $\tau = \sqrt{\lambda} = 0.115$ 、材料の単位体積重量の比 $\rho = \rho_p / \rho_n = 1$ である。表-1に原型及び実験に用いた4個の模型の諸元を示す。ここで、Model I, II へマウンドは相似比をいかない満足する模型、Model III は法勾配をきつくして断面減少による工費節減を意図したもの、Model IV は大水深域で十分な範囲のが出来ない場合を想定したもの。図-1はModel I, II の断面を示している。

ここでは、マウンド内に発生する重力の間げき水压が防波堤の全体安定に及ぼす影響を把握するため、マウンド材の透水係数の相似比を満すようにして、マウンド内への水の流れはレイノルズ数 Re がきめで大きいため透水係数 k は次式により求めた。

$$k = \sqrt{\frac{2gd}{5}} \frac{\Delta H}{\Delta S} \quad (1)$$

ここに、 g : 重力加速度 980 cm/s^2 、 d : 粒径 5 cm、 $\Delta H/\Delta S$: 重力勾配 $1/10$ 、 ΔS : 抵抗係数 ζ 、 $Re > 10^4$ の範囲では 20 である。原型へマウンド用割石は $d = 40 \sim 50 \text{ cm}$ であるが、透水係数を支配するものは $d = 5 \text{ cm}$ 程度の目つき材と考えて、模型マウンド材としては高砂(粒子比重 2.65、 $e_{max} = 0.90$ 、 $e_{min} = 0.65$)を使用した。

3. 加振による測定

振動実験には運輸省港湾技術研究所の動電型振動台(加振力 12 ton/g、振動数範囲 0.5 ~ 100 Hz、振動面 $1.5 \times 5.0 \times 1.5 \text{ m}^3$)を使用して、加振順序は、まず 10 ~ 100 gal の範囲で一定加速度の正弦波を 5 ~ 50 Hz より 1 Hz 間隔で 10 段づつ作用させた。その後に、1968 年十勝沖地震の際に八戸港で得られた強震記録を基盤との波形に応じてモデルへと原型へと実験用地震波を、加速度レベルを順次増大させて加振した。

	原 型	模 型					
		設計値	目標値	実験値 Model I	実験値 Model II	実験値 Model III	実験値 Model IV
高さ (cm)	40×10^3	55	55	55	55	55	55
法勾配	1:2	1:2	1:2	1:1.6	1:1.2		
算術平均粒径	1.8	1.8	1.6	1.6	1.6	1.4	1.4
重量(%)	1.0	1.0	0.99	0.99	0.94	0.84	
平均粒径(cm)	2.0	2.7×10^{-1}	1.4×10^{-1}	1.4×10^{-1}			
内部摩擦角(°)	35	35	32	32	29		
透水係数(cm/s)	7.0	8.1×10^{-1}	6.4×10^{-1}	6.4×10^{-1}	8.4×10^{-1}		
高さ (cm)	21	28	28	28	28	28	28
ケーラン (cm)	17	23	23	23	23	23	23
単位体積重量(%)	21	2.0	2.1	2.1	2.1	2.1	2.1
地盤	1.4×10^3	10%小量	修正小量修正中量	修正小量			
振動強度数(Hz)	6.0	6.9	6.9	6.9	6.9	6.9	6.9
最大加速度(g)	1 ~ 4	8.7×10^{-1}					
最大変位(cm)	200	200	750	120	450		
水深 (m)	60×10^{-3}	8.0	8.0	8.0	8.0	8.0	8.0
堤長 (cm)	600×10^3	8×10^3	150	150	150	150	150
		※水深 50m 以上部分					

表-1 原型及び模型諸元

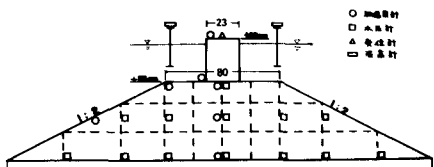


図-1 Model I, 断面と測定器具配置

模型の振動・変形状況は、図-1に示す如く、主に加速度計と水圧計により測定した。その他に、マウンド内と表面の変形やケーランの移動をDVRや変位計で記録した。

4. 実験結果

(i) 防波堤の全体安定——300~400galの台加速度に対するマウンド斜面の崩壊やケーランの顯著な沈下・滑動は認められなかった。マウンド天端の沈下は、Model I, IIで台加速度が660~752galに対する1.5cm(堤高の2.7%に相当)、Model IVでは、428galの時に1.0cm(堤高の1.8%)発生した。いずれの場合も、ケーランの滑動は認められなかった。その故、原型へ防波堤は強大な地震動に対してもかなり安全性が高く、沈下によるケーラン天端高への幾何学的防護機能を損なうほどではないと想される。

(ii) 防波堤の振動応答特性——防波堤の振動特性の一例を図-2に示す。いずれの模型においても、台加速度10~15galに対して29~36Hzの時に8~14(ケーラン上端)、5~6(マウンド上端)の応答倍率を示す。このピークについて、台加速度・増大と共に振動数・応答倍率が減少しており、マウンド内のひずみ増加に伴うせん断剛性の低下と減衰効果の増大を示している。台加速度が小さい時の13~17Hzにおけるケーラン上端の応答はケーランのロッキング振動によると思われるが、これは台加速度が50galを越えると見られない。図-3は、台加速度の増大に伴いケーラン上端の応答倍率が低下する様子を示している。

(iii) マウンド内の動的拘束水圧——マウンド内部に発生した動的拘束水圧は、同一高さでの堤体中心より少く斜面に向かって増大しており、この傾向はマウンド内の加速度分布と似ている。動的拘束水圧の値を(2)式のWestergaardによる動水圧の算定式と比較すると、ほぼ0.5~1倍となる。

$$P = \pm \frac{7}{8} \rho g h \sqrt{H} \tau \quad (2)$$

ここに、 P : 動水圧、 ρ : 密度、 g : 水の単位体積重量、 H : 水深、 τ : 動水圧を求める時の水深である。

動的拘束水圧とマウンド内の応力との比の一例として図-4に、Model II, IV の堤体中心における場合を示す。ここで、マウンド内の応力はケーランからマウンドに作用する偏心傾斜荷重とマウンドの自重により発生するとして、分布状態は図-5に示すように仮定した。両者の比はかなり大きく、マウンドのせん断抵抗は著しく減少すると考えられる。防波堤が外観的には安定を保つまへる原因は、マウンドの透水係数が大きいために拘束水圧は極めて短時間しか継続せずに直ちにマウンドの強度が回復するためと思われる。

引続き防波堤の安定性に重要な要因となる基礎地盤を考慮した実験及び実験結果と数値解析との対応について検討を進めようとしている。

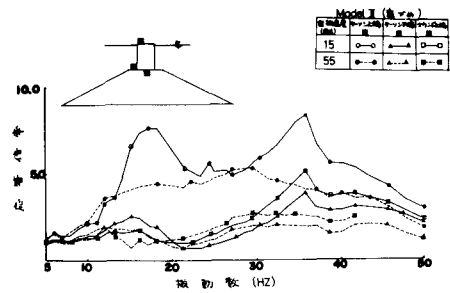


図-2 振動応答特性

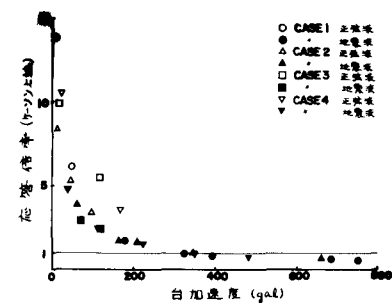


図-3 応答倍率と台加速度

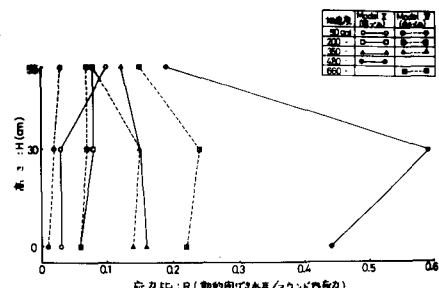


図-4 応力比の高さ分布

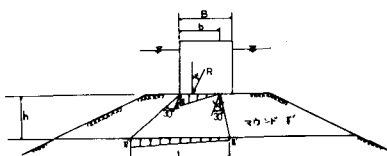


図-5 マウンドの応力分布

$$P_i' = \frac{b}{L} P_i + \rho g h \quad (3)$$

ここに、 R : 偏心傾斜荷重、 e : 傾斜角
 ρ : 偏心量、 g : マウンドへの水中重量、 h : 深さ
 B : ケーラン幅、 b : 荷重分布や△形分布時の
 $b = 3(\frac{B}{2} - e)$ 、台形分布時の $b = B$ 、
 L : マウンド内へ荷重分布巾
 $L = b + h \{\tan(30^\circ + \alpha) + \tan(30^\circ - \alpha)\}$